

Özel Bir Tür Artıksılık: Makro-Mikro Manipülasyon

Doç. Dr. M. İ. Can Dede

Makine Mühendisliği Bölümü
İzmir Yüksek Teknoloji Enstitüsü

İçerik

1. Robot Manipülatörlerinde Kinematik Artıksılık
2. Makro-Mikro Mnaipülasyon Kavramı
3. Düzlemsel Lazer Kesim Tezgahı Çalışması
 - A. Motivasyon
 - B. Ana ve Yerel Mekanizma Tasarımı
 - C. Dinamik Dengeleme
 - D. Mafsal Boşluklarının Uç Noktası Hatasına Katkısı
 - E. Yörunge Planlama Algoritmaları
4. Paralel Mekanizmanın Saklı Robotu
5. Yerel Mekanizma Kalibrasyon Çalışmaları
6. Sonuçlar

2

1. Robotlarda Kinematik Artıksılık

Kinematik olarak artıksılık robot ne demektir?

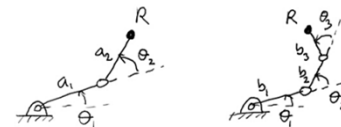
- 1. Tanım: $\bar{p} \in \mathbb{R}^6$ ve $\bar{q} \in \mathbb{R}^n$ için eğer $n > 6 \rightarrow$ Kinematik artıksılık

$$\bar{p} = \begin{bmatrix} x \\ y \\ z \\ \phi \\ \theta \\ \psi \end{bmatrix}$$



- 2. Tanım: $\bar{p}_t \in \mathbb{R}^{n_t}$ ve $\bar{q} \in \mathbb{R}^n$ için eğer $n > n_t \rightarrow$ Kinematik artıksılık

$$\bar{p}_t = \begin{bmatrix} x \\ y \end{bmatrix}$$



3

1. Robotlarda Kinematik Artıksılık

Artıksılık görev tasarımcısına, aynı birincil görevi yapmak için sonsuz sayıda olasılık sağlanıyor \rightarrow görev tasarımcısı belirlenen kıstaslara göre en iyi çözümü seçebilir

$$\bar{p} = \bar{f}(\bar{q}) \rightarrow \bar{q} = \bar{f}^{-1}(\bar{p})$$

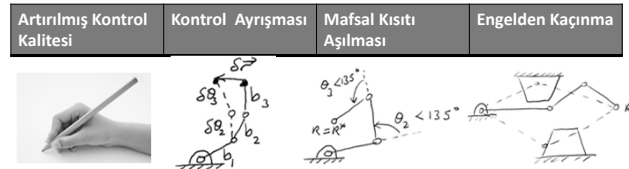
- Öz hareket (ing: self motion) robotun birincil görevini yapmasına engel olmadan ikincil görevin(lerin) gerçekleştirilmesi (Nakamura 1991).



Nakamura's Lab, Uni Tokyo

4

1. Robotlarda Kinematik Artıksılık



Kinematik artıksılık çözümüm algoritmaları:

- Jakobi matrisi temelli çözümüm

$$\dot{\hat{p}}_{n_t \times 1} = \hat{J}_{n_t \times n}(\hat{q}_{n \times 1}) \rightarrow \hat{J}^{\#}_{n \times n_t} = \hat{J}^T (\hat{J} \hat{J}^T)^{-1} \rightarrow \hat{J}^{\#} \text{ ağırlıklı} = \hat{W}^{-1} \hat{J}^T (\hat{J} \hat{W}^{-1} \hat{J}^T)^{-1}$$

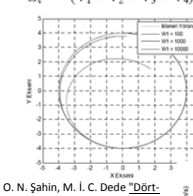
5

1. Robotlarda Kinematik Artıksılık

$$V_x = V_1 \cdot \sin\theta - V_3 \cdot \sin\theta - V_2 \cdot \cos\theta + V_4 \cdot \cos\theta$$

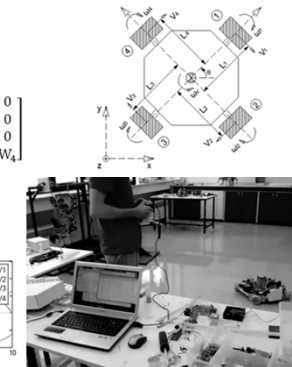
$$V_y = -V_1 \cdot \cos\theta + V_3 \cdot \cos\theta - V_2 \cdot \sin\theta + V_4 \cdot \sin\theta$$

$$\omega_v = -(V_1 + V_2 + V_3 + V_4)/L$$



O. N. Şahin, M. İ. C. Dede "Dört-Tekerlekli Çok-Yönlü Uzaktan Kontrol Edilen Bir Mobil Robot için Hata Telsifisi", 17. Uluslararası Katalımlı Makine Teorisi Sempozyumu, İzmir, pp. 739-745, Haziran 14-17, 2015.

$$\hat{W} = \begin{bmatrix} W_1 & 0 & 0 & 0 \\ 0 & W_2 & 0 & 0 \\ 0 & 0 & W_3 & 0 \\ 0 & 0 & 0 & W_4 \end{bmatrix}$$



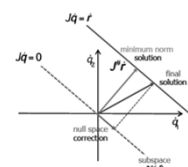
6

1. Artıksılık Çözümüm Algoritması

Kinematik artıksılık çözümüm algoritmaları:

- Sıfır uzayı (İng: Null space) çözümümleri

$$\ddot{q} = \hat{J}^{\#} \ddot{p} + (\hat{I} - \hat{J}^{\#} \hat{J}) \ddot{q}_0 \rightarrow \hat{J} \ddot{q}_0 = \bar{0}$$



Hız seviyesinde artıksılık çözümüm yaklaşımını kullanarak farklı ikincil görevlerin gerçekleştirilebilir:

- Tekillikten kaçınma (Yoshikawa 1984)
- Eklem hızlarının en aza indirilmesi (Seraji 1991)
- Engelden kaçınma (Chen et al., 2002)
- Mafsal sınırlarından kaçınma (Tatlıcioğlu et al., 2009)

7

1. Artıksılık Çözümüm Algoritması

IRL SHAD robotunun artıksılık çözümüm algoritmaları:

- Engelden (insandan) kaçınma
- En az sabit kuvvet iletme

M. Kanık, G. Berker, O. W. Maaroof, O. E. Uzunoğlu, M. İ. C. Dede "Admittans Yapısında Kinematik Olarak Artıksılık Haptik Ana Sistem Tasarımı", 18. Ulusal Makine Teorisi Sempozyumu, Trabzon, pp. 177-184, Temmuz 5-8, 2017.



8

2. Makro-Mikro Manipülasyon

RoManSy 2014, Moskova, Rusya

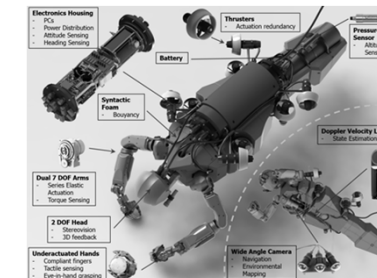
E. Uzunoğlu, M. İ. C. Dede, G. Kiper, E. Mastar, T. Sığırtaç "Trajectory Planning of Redundant Planar Mechanisms for Reducing Task Completion Duration," Advances on Theory and Practice of Robots and Manipulators Mechanisms and Machine Science, Marco Ceccarelli and Victor A. Glazunov (Eds.), Volume 22, pp 215-223 Springer, Dordrecht, The Netherlands, 2014 (ISBN: 978-3-319-07057-5).



9

2. Makro-Mikro Manipülasyon

Prof. O. Khatib'in grubu tarafından yapılan «THE RED SEA ROBOTIC EXPLORATORIUM»



10

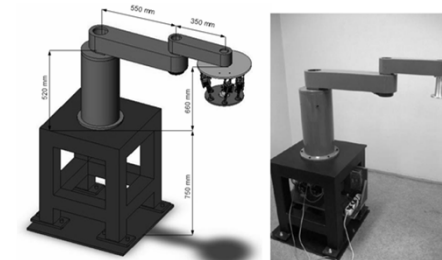
2. Makro-Mikro Manipülasyon

- Makro-Mikro mekanizmalar ile ilgili ilk çalışma 1994'te N. I. Marzwell ve arkadaşları tarafından
 - Makro-mikro robot kollu ameliyat robotu
 - Mikro mekanizma ile yüksek frekans bandında hassas kuvvet denetimi
 - Makro mekanizma ile kaba konumlandırma

11

2. Makro-Mikro Manipülasyon

- Prof. Hira Karagülle (D.E.U.) grubu tarafından yapılan ameliyat robottu



12

3.A. Makine Endüstrisinin İhtiyacı

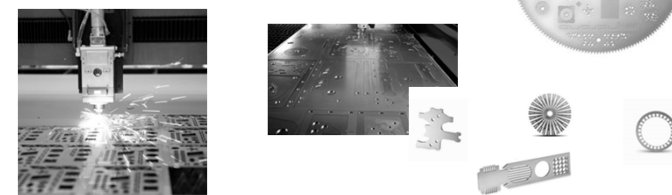
Genel olarak

- İş tamamlama hızının sürekli olarak azaltılma ihtiyacı
- Enerji tüketiminin azalması
- Olası çözüm: düzlemsel çalışmalarında iş tamamlama süresini en aza indirmek için kinematik artıksılığı kullanmak
 - Fazladan serbestlik derecelerinin avantajının iş uzayında yüksek ivmeli hareketler elde etmek için kullanılması
 - Yüksek ivmeli hareket eden kütlenin azaltılması

13

3.A. İşin Tanımı

- Lazer kesim makinalarında en yüksek kesim hızı **lazer gücü** → kesilecek parçanın **malzemesi ve et kalınlığına** bağlı.
- Bununla beraber en yüksek kesme hızına çıkış süresi sabit bir kesme hızı için önem kazanır:
 - Karmaşık ve keskin köşelerde, kesim süresi ana olarak konturlar arasındaki geçiş süresi ile belirlenmektedir



14



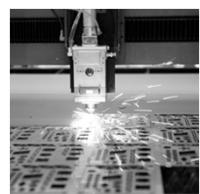
3.A. İşin Tanımı

Cözüm:

Yüksek ivme performansı → keskin köşelerde ve konturlarda zaman kaybı azaltılabilir

Sorun:

Büyük çalışma alanına sahip ve yüksek ivme değerleri → eyleyicilerde yüksek kuvvet/tork gereksinimleri



15



3.A. Geleneksel Makinaların Sorunları

- Geleneksel lazer kesim makinalarının dinamik performansları **yüksek ivme** değerlerine ulaşıldığında oluşan **ataletsel kuvvetlere bağlı mekanik titreşimler** yüzünden sınırlanmaktadır.
 - Yüksek genilikli titreşimler
 - Fizikalî hasar meydana gelebilir
 - Düşük hassasiyet değerleri elde edilir



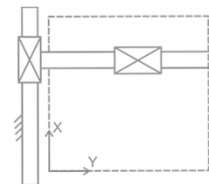
16



3.A. Yüksek İvme Değerleri için Makro-Mikro Manipülasyon

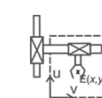
- Ana Mekanizma (Makro)

- Sınırlı ivme kabiliyetine sahip
- Büyük çalışma alanı



- Yerel Mekanizma (Mikro)

- Düşük çalışma alanı
- Ana mekanizma üzerine monte
- Yüksek ivme kabiliyeti



17

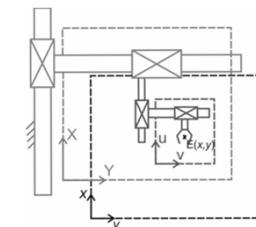


3.A. Yüksek İvme Değerleri için Makro-Mikro Manipülasyon

- İki ayrı mekanizmadan oluşur

İki mekanizmanın avantajlarını kullanır

- Makro mekanizmanın çalışma alanı
- Mikro mekanizmanın yüksek dinamik performansı

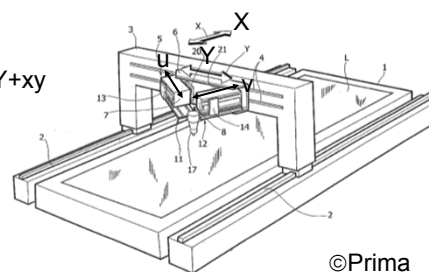


18



3.A. Düzlemsel Makro-Mikro Manipülasyon Tezgahları

- ©Prima Syncrono
- Hareket eksenleri XY+xy
- 6g ivme

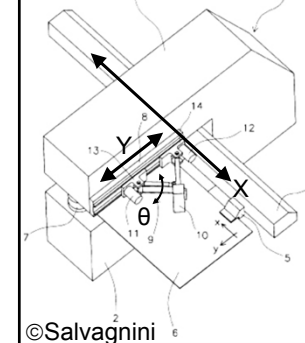


19



3.A. Düzlemsel Makro-Mikro Manipülasyon Tezgahları

- ©Salvagnini L5
- Hareket eksenleri X+yq
- PRRRP mekanizma tipi
- 5g ivme



20



3.A. Kinematik olarak Artıksız Düzlemsel Lazer Kesim Tezgahları

Yürütücü	: Dr. Mehmet Ismet Can Dede
Araştırmacılar	: Dr. Gökhane Kiper, Emre Uzunoğlu, Dr. Erkin Gezgin (İzmir Katip Çelebi Üniversitesi)
Kurum	: Bilim, Sanayi ve Teknoloji Bakanlığı
Program	: SANTEZ
Numara	:01668.STZ.2012-2
Proje Süresi	: 2012-2014
Proje Ortağı	: Coşkunöz, Bursa
Durum	: Tamamlandı

21



3.A. Çalışmanın Amacı

- Amacımız düzlemsel lazer kesim tezgahlarının kesim süresi performansını makro-mikro manipülasyon sistemi kullanımı ile iyileştirmek
 - En yüksek ivme: >5g
 - Hassasiyet: $\pm 30\mu\text{m}/\text{m}$
 - Tekrarlanabilirlik: $\pm 15\mu\text{m}/\text{m}$
- Kullanılan kavramın avantaj yaratacak yanları
 - Kinematik artıksılık / Makro-mikro manipülasyon
 - Paralel mekanizma kullanımı

22



3.B. Tasarım Çalışmaları

- Makinanın açılımı:
 - 2 serbestlik dereceli (SD) seri **Kartezyen mekanizma** → **Makro manipülatör**
 - 2-SD paralel mekanizmalar → **Mikro manipülatör**: basit dönel ve doğrusal eklemlerden oluşan 5 uzuvlu ve 5 eklemli mekanizmalardan birisi

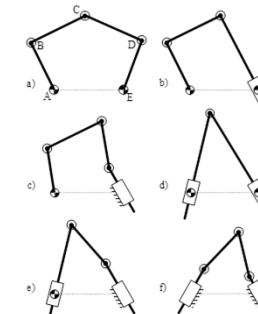
23



3.B. 2-SD Paralel Mekanizma için Tasarım Çalışmaları

Tasarım kísticası;

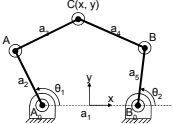
- Eyleyici sabit ekleme olmalı
- Eğer varsa, doğrusal eklemlerde eyleyiciler yerleştirilmeli
- Mekanizmaların ayna görünümleri kullanılmayacak
- Denetim kolaylığı için simetrik tasarımlar tercih edilmeli.



24



3.B. Tasarım Çalışmaları-5R Mekanizması



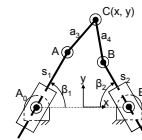
- Çalışma alanı daireseldir
- Tekil noktadan geçmeden mekanizma 360 derece döndürlebilir
- Çalışma alanı nispeten genişir

- 5R mekanizması en çok kullanılan düzlemsel paralel 2-SD mekanizmadır [Giberti et al., 2011].
- Uygulandığı alanlar:
 - Montaj robotları [Munakata, 1988],
 - Transport robotları [Shuichi, Shige, 1990],
 - Konumlandırma cihazları [Karidis et al., 1992],
 - Haptik cihaz [Hayward et al., 1994]
 - Tibbi cihaz [Yoshino et al., 2005].
 - IBM tarafından geliştirilen ve 50g ivmelere çıkan küçük konumlandırma cihazı [Karidis et al., 1992].

25



3.B. Tasarım Çalışmaları-PRRRP Mekanizması



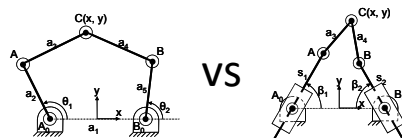
- Uygulamaları
 - Battheu, [2011, 2012] PRRRP mekanizmasını ($\beta = 0^\circ$) kinematik olarak artıksız düzlemsel lazer kesim makinasında kullandı
 - PRRRP mekanizması ($\beta = 45^\circ$) mikro-elektronik üretim hattında paketleme ve montaj cihazı olarak kullanıldı [Li et al. 2007]
 - Bir talaşlı üretim cihazında PR kinematik zinciri PRRRP ($\beta = 90^\circ$) mekanizması ile beraber kullanıldı [Wu et al. 2007]
- Çoğu uygulamada, $\beta_1 = \beta_2 = \beta$.

26



3.B. Tasarım Çalışmaları- Karşılaştırma

- Aynı görev (PRRRP mekanizmasına göre) nispeten küçük bir 5R mekanizması gerçekleştirebilir [Sun, Cheung ve Lou, 2007].
- 5R mekanizmasının avantajları
 - düşük ağırlık
 - hassasiyet
 - katılık
 - daha iyi kuvvet iletimi



VS

27



3.B. Tasarım Çalışmaları-5R Mekanizma Kavramsal Tasarımı

- İlk olarak aynı ekseni paylaşan eyleyicili sabit eksenli ve aynı uzuv boyutlu mekanizma seçildi.
- Sorunları
 - Lazer kafasının boyutları yaklaşık uzuv boyutlarına eşit
 - Lazer kafasının yönelimi sabit tutulamıyor

28

COŞKUNÖZ METAL FORM

3.B. Tasarım Çalışmaları-5R Mekanizması Kavramsal Tasarımı

- Sorunları ortadan kaldırmak için alternatif tasarımlar üzerinde çalışıldı

- Lazer kafası 3. eksen eklemine yerleştirilmiş

- Kayıt kasnak eklenerek değiştirilmiş 6R

- Lazer kafa ön uzva sabitlenmiş.

- Paralelkenar devreler eklenerek değiştirilmiş 6R

29

COŞKUNÖZ METAL FORM

3.C. Dinamik Dengeleme

- Dinamik dengeleme aktif veya pasif olarak gerçekleştirilebilir.

Menschaar, H. F., Ariens, A. B., Herder, J. L., Bakker, B. M. (2006). Five-Bar Mechanism With Dynamic Balancing Means and Method for Dynamically Balancing a Five-Bar Mechanism. Patent no: WO 2006/080846A1

30

COŞKUNÖZ

3.C. Dinamik Dengeleme

- Sistemimiz için pasif kuvvet/moment dengeleme çözümü
- Hesaplamalarda tamamen dengelenmiş bir sistem içim sonlandırma ağırlığının 9 katı kadar daha ağırlık eklenmesi gerektiğini gösterdi.
- Dengeleme tüm sistem hassasiyetini iyileştirir \leftrightarrow fazladan ağırlık sistemi dinamikliğini azaltır.

$$m_1 \ddot{r}_1 + m_2 \ddot{r}_2 + m_3 \ddot{r}_3 + m_4 \ddot{r}_4 = 0 \quad (1)$$

$$\ddot{r}_1 \rightarrow i\alpha / 2 + re^{i\theta} + re^{-i\theta} - i\alpha / 2, \ddot{r}_2 \rightarrow i\alpha / 2 + re^{i\theta} + (r/2)e^{i\theta},$$

$$\ddot{r}_3 \rightarrow -i\alpha / 2 + re^{i\theta} + (r/2)e^{i\theta}, \ddot{r}_4 \rightarrow i\alpha / 2 - be^{i\theta} \text{ and } \ddot{r}_5 \rightarrow -i\alpha / 2 - be^{i\theta}$$

$$\Rightarrow (m_1 + 1.5m_2 - bm_3) / e^{i\theta} + e^{i\theta} = 0 \quad (2)$$

$$rm_2 + 1.5m_3 - bm_2 = 0 \quad (3)$$

$$b < r/2, \Rightarrow m_2 > 2m_1 + 1.5m_3 \quad (4)$$

$|OA_0| = |OB_2| = |CE| = |DE| = a/2$
 $|A_2A| = |B_2B| = |AC| = |BD| = r$
 $|AF| = |BG| = b$
 $|B_2H_2| = |BH| = |DJ|$
 $\angle A_2B_2H_2 = \angle CDJ$

- Dinamik analizler sonucunda tamamen dengelenmiş sistemin motor tork gereksinimlerinin 2~2.5 kat arttığı hesaplanmıştır.
- Kısmi dengeleme de mümkündür sorusunun cevabı $\rightarrow 116M272$

31

COŞKUNÖZ

3.D. Mafsal Boşluklarının Uç Noktası Hatasına Katkısı

- Mafsal boşluğu modellenmesinde genel bir yaklaşım boşluk miktarı için bir belirli bir yarıçap bırakıp onun içinde çalışacak bir uzuv ile boşluk değişimini modellemektedir.

(a)

(b)

(c)

(d)

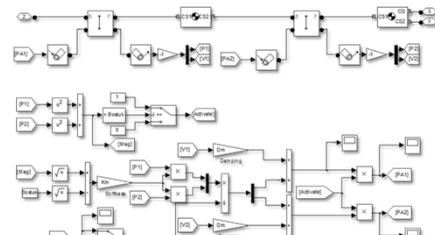
(a) Mafsal boşluğu; (b) 2R modeli ; (c) 3R modeli; (d) PPR model

32



3.D. Mafsal Boşluklarının Uç Noktası Hatasına Katkısı

- Bu modelde, ilk olarak mafsal içi çarpışma ani bulunur, sonra ortaya çıkan tepki kuvvetlerine göre mafsal boşluğu modelindeki prizmatik eksenler hareket ettirilir.



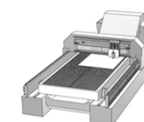
- Mafsal boşlukları 0.01 mm olarak alındı → Benzetim testleri sonucunda uç noktasının istenilen yörüngeinden sapması en fazla 0.005 mm olarak gerçekleşti.

33



3.E. Yörunge Planlama Algoritması

- Mikro manipülatör (düşük ataletli mekanizma) yüksek ivme + Makro manipülatör düşük ivme
- Mikro manipülatörün çalışma alanı sınırları ihlal edilmemeli



34



3.E. Yörunge Planlama Algoritması

Çevrim-dışı Hareket Planlaması

- Algoritma 1 – Hız seviyesinde

Yarı Çevrim-içi Hareket Planlaması

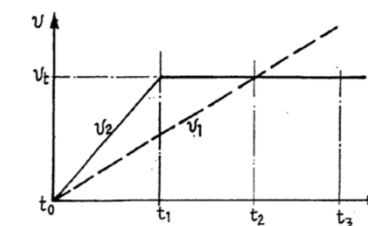
- Algoritma 2- Geometrik Çıkarım
- Algoritma 3- Filtreleme ile Çıkarım

35



3.E. Yörunge Planlama Algoritması (Algoritma 1)

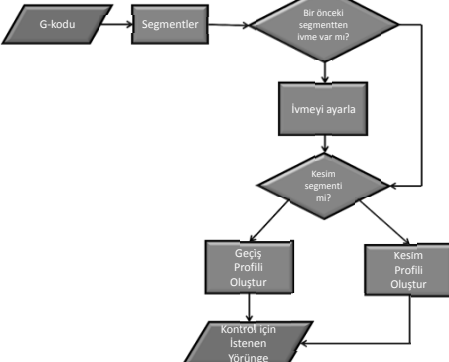
- Uç noktası hız profili trapezoid hız profiline olacak ve istenilen hiza en hızlı ulaşacak şekilde tasarlanmıştır (Sartorio 2004).



36



3.E. Yörunge Planlama Algoritması (Algoritma 1)

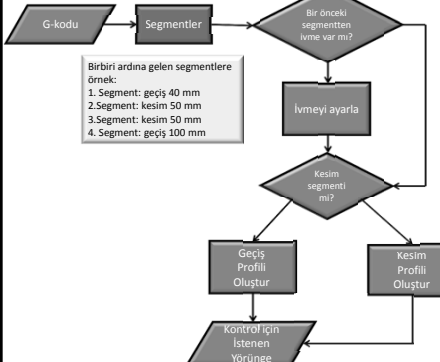


Yörunge planlama algoritması makine için G-kodu oluşturulması ile makine kontrolcüsü (genel olarak CNC olarak adlandırılıyor) arasında kullanılmak üzere sisteme gömulecek bir yazılımdır.

37



3.E. Yörunge Planlama Algoritması (Algoritma 1)



Hareket planlaması için giriş verisi G-kodlarından iki kategoride segment olarak oluşturulur: kesim segmenti ve geçiş segmenti

(Zaten bu segmentlerin tipleri G0,G1,G2,G3 skodları ile G-kodlamasında verilmiş durumda).

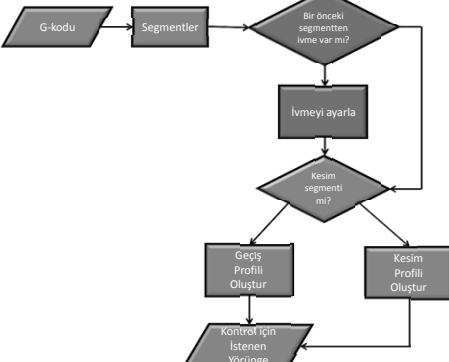
Segment verisi içeriği:

- Hareket edilecek toplam mesafe
- Segmentin başlangıç ve son noktaları
- Segment tipi

38



3.E. Yörunge Planlama Algoritması (Algoritma 1)

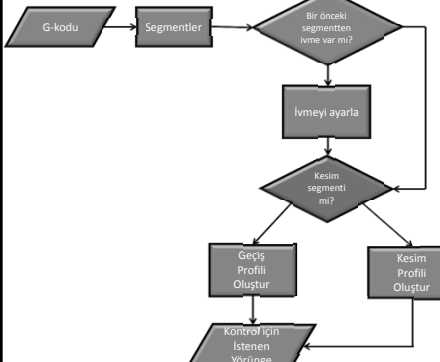


- Bir önceki işlem sırasında üç noktasını sabit bir noktada tutmak için iki mekanizmanın üzerinde de ivme kalmış mı kontrol et
- Eğer mekanizmalar üzerinde bir ivmeli hareket mevcut ise bir sonraki segmentin ivmesini buna göre ayarla

39



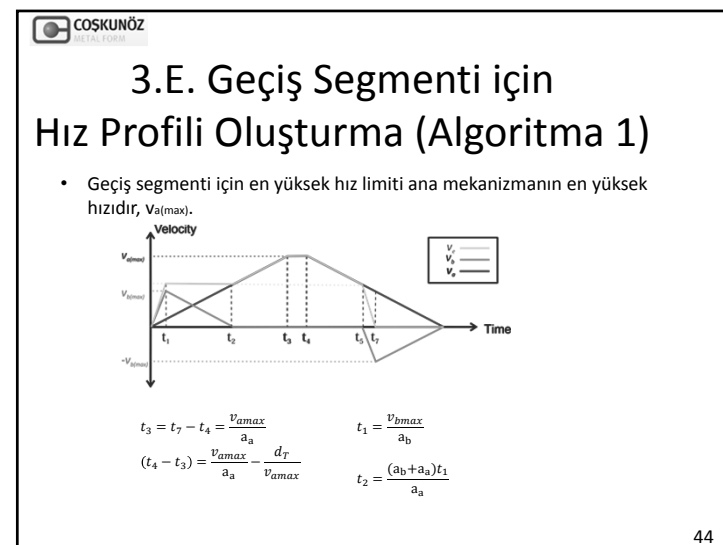
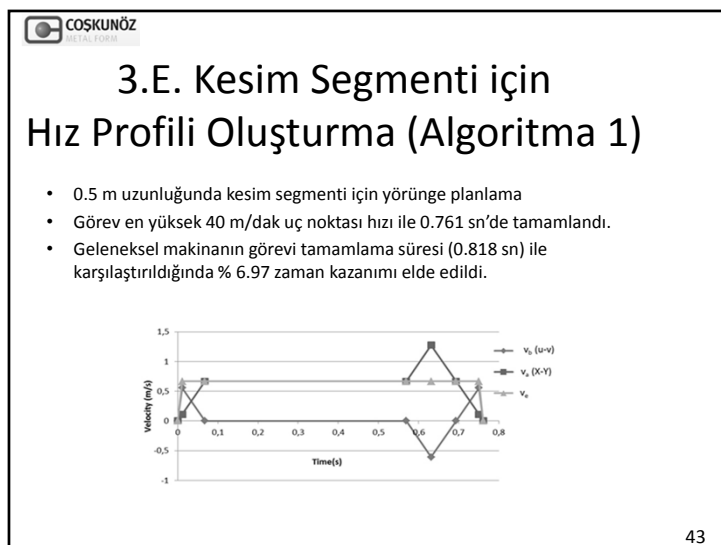
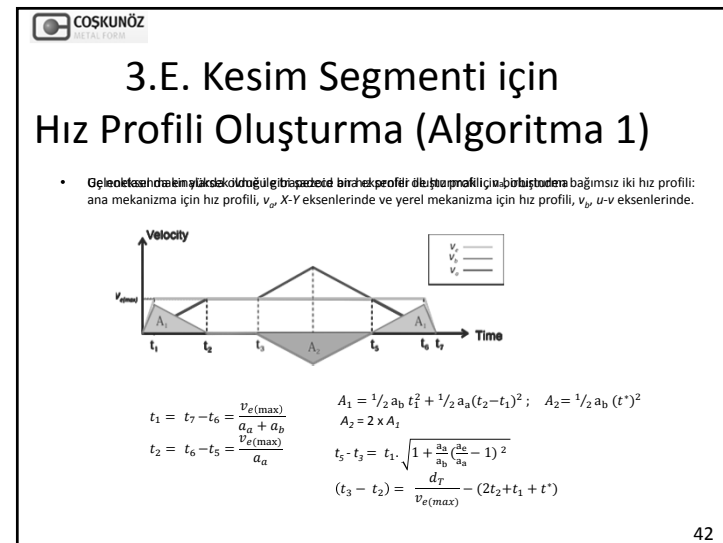
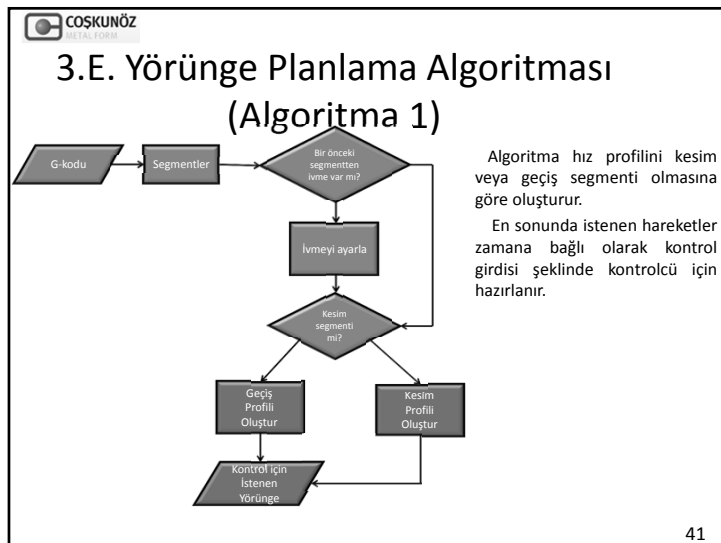
3.E. Yörunge Planlama Algoritması (Algoritma 1)



G-kodundan oluşturulmuş hareketler iki segment tipi şeklinde oluşturulur:

- **Kesim segmentlerinde** üç noktasının (kesici ucun) en yüksek hızı kesim türünün izin verdiği en yüksek hızda ayarlanır.
- **Geçiş segmentlerinde** kesim öncesi veya iki kesim arasında konumlandırma için makinanın yapabilceği en yüksek hızda mesafe kat edilmesi için tasarılanır.

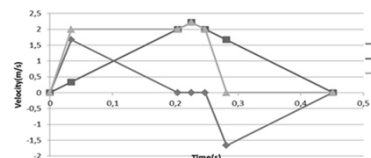
40





3.E. Geçiş Segmenti için Hız Profili Oluşturma (Algoritma 1)

- 0.5 m uzunlığında geçiş segmenti için yörunge planlama
- Görev en yüksek 132.88 m/dak uç noktası hızı ile 0.4515 sn'de tamamlandı.
- 0.17 sn zaman tasarrufu var. Bu ölü zaman bu segmenti takip eden kesim segmentinde kesme başlama için kullanılabilir.

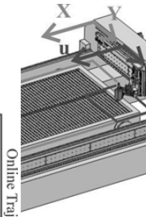
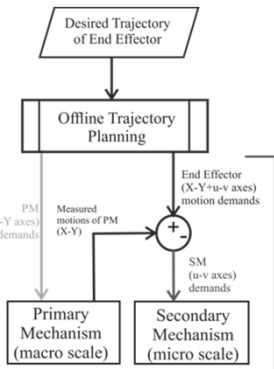


45



3.E. Yarı Çevrim-içi Hareket Planlaması

- İvme değişimi sınırlanılmış son-eyleyici yörungesi
- Makro manipülatör için minimum ivmeli sürekli hareket
- Mikro manipülatörü hareket istekleri → Çerim-içi olarak hesaplanır → = son eyleyici yörungesi - gerçek zamanlı ölçülen makro manipülatörün konumu



46



3.E. Yarı Çevrim-içi Hareket Planlaması

Makro manipülatörün hareketi son eyleyici yörungesinden elde edilir

Geometrik Yaklaşımlar

İz planlaması makro ve mikro manipülatörlerin kısıtları ele alınarak hesaplanır

Sayısal Yaklaşımlar

Polinom/eğri uydurma, filtreleme

47



3.E. Yarı Çevrim-içi Hareket Planlaması

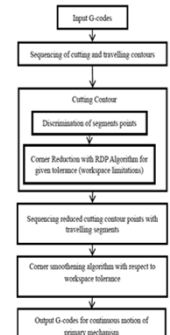
Seçim için kritik hususlar:

- Hesaplama verimi ve gerekli hafıza kapasitesi
- Öngörülebilirlik (yaklaşımdan uzaklaşma) ve hassasiyet (son konumuna göre aşama)
- Esneklik (işlemi durdurma-başlatma, delik-açma zamanı,...)
- Hareketin sürekliliği

48

3.E. Kontur Şekillendirme ile Yarı Çevrim-içi Hareket Planlaması

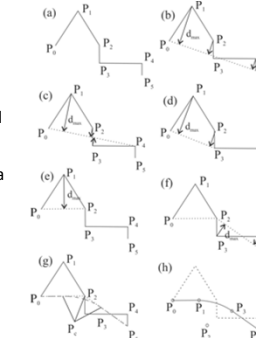
- ➔ Önerilen yöntem mikro manipülatörün çalışma alanı kısıtlarını göz önüne alır
- ➔ Son-eyleyicinin yörüngesi eniylenir
- ➔ Makro manipülatör için sürekli hareket elde edilir
 - Ramer-Douglas and Pecker algoritması [10], [11]



49

3.E. Kontur Şekillendirme ile Yarı Çevrim-içi Hareket Planlaması

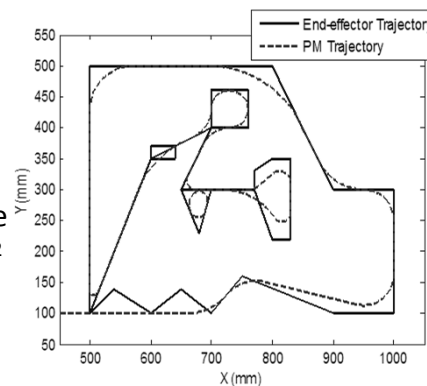
- a) Son-eyleyici için yörunge
- b) Başlangıç ve son noktalar birleştirilir ➔ d_{max} hesaplanır
- c) Algoritma P_5 noktasını dışarı atar ve P_1 , P_2 and P_3 noktalarına olan mesafeleri ölçer
- d) Algoritma P_4 noktasını dışarı atar ve P_1 and P_2 noktalarına olan mesafeleri ölçer
- e) P_1 noktasının $\overline{P_0P_2}$ doğrusuna mesafesi belirlenen çalışma alanı toleransının altında ➔ ilk eksiltme P_3 noktası ile yapılır
- f) $P_2 - P_5$ arasındaki noktalar $\overline{P_2P_5}$ doğrusuna mesafesi bakımdan incelenir
- g) Köşe yumuşatması çalışma alanı sınırlarına uygun şekilde yapılır ➔ $\overline{P_0P_2P_5}$
- h) G-kodları ile yaratılacak segmentler mavi renkle işaretli



50

3.E. Örnek Çalışma(Algoritma 2)

- Makro manipülatörün ivme sınırı: 9.81 m/s^2
- Son-eyleyici ivme sınırı: 49.05 m/s^2
- Son-eyleyici hız sınırı: 40 m/min



51

3.E. Algoritma 2 Sonuçları

- Örnek çalışma için görev tamamlama süresi %20.41 azaltılmış (son-eyleyicinin 9.81 m/s^2 ivme sınırı ile çalıştığı duruma göre)
- Mikro manipülatörün hareketinin çevrim-içi hesaplanması işlemin hassasiyetini artırabilir

Sorunlar

- Yüksek hesaplama yükü
- Şekle bağlı ➔ iki yörünenin senkronize olmasında zorluk var

52

COŞKUNÖZ
METAL FORM

3.E. Filtreleme Fonksiyonu ile Yarı Çevrim-içi Hareket Planlaması

The diagram illustrates the trajectory planning process. It shows the flow from CAM Software (G-code) through an Offline Trajectory Generation Algorithm (Pre-process) to an Online Trajectory Tracking Algorithm. The Offline process includes G-code segmentation and interpretation, followed by a Filtering Function and Motion Limits. The Online process involves PM (X-Y axis) Commands, an Inverse Kinematic Function, and PM error feedback to the CNC Controller.

53

COŞKUNÖZ

3.E. Filtreleme Fonksiyonu ile Yarı Çevrim-içi Hareket Planlaması

S : mesafe V : hız A : ivme J : jerk

t_i : T_i safhasının sonlanma anı; $i=0, 1, \dots, 7$.

τ_i : i sahfasındaki zaman, $i=0, 1, \dots, 7$.

$$S(t) = \begin{cases} V_i t_1 + J \tau_1^3 / 6 & 0 \leq t < t_1 \\ S_1 + V_1 \tau_2 + J T_1 \tau_2^2 / 2 & t_1 \leq t < t_2 \\ S_2 + V_2 \tau_3 + J T_2 \tau_3^2 / 2 - J \tau_3^3 / 6 & t_2 \leq t < t_3 \\ S_3 + V_3 \tau_4 & t_3 \leq t < t_4 \\ S_4 + V_4 \tau_5 - J \tau_5^3 / 6 & t_4 \leq t < t_5 \\ S_5 + V_5 \tau_6 + J T_5 \tau_6^2 / 2 & t_5 \leq t < t_6 \\ S_6 + V_6 \tau_7 - J T_5 \tau_7^2 / 2 - J \tau_7^3 / 6 & t_6 \leq t < t_7 \end{cases}$$

54

COŞKUNÖZ

3.E. Algoritma 3

$X(t) + E(t) = S(t)$

$X(t)$: düşük ivmeli ve sürekli hareket

$E(t)$: küçük ve hızlı değişen yüksek frekanslı hareket

$S(t)$: Zaman serisi verisi

55

COŞKUNÖZ

3.E. Algoritma 3'ün Uygulaması

Örneklemme parçası 100 adet 3 mm çaplı birbirinden 4 mm aralıklı dairesel kesimden oluşmaktadır.

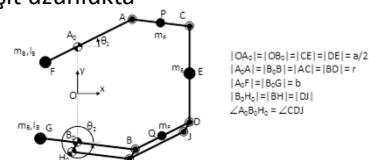
Örnek kesim için değerler:

- Geleneksel lazer kesim makinası ile 119 sn sürüyor
- Makro-mikro manipülasyon ile 26 sn sürüyor

56

4. Saklı Robot Kavramı

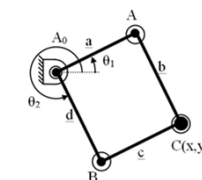
- Saklı robot:** Gerçek robotun kinematiğinden daha **basit / analitik denklemlerle** ifade edilebilir bir kinematik yapıya sahip sanal bir robot yapısının gerçek robotun denetim algoritması içerisinde çalıştırılması hedeflendi
- Bütün hareketli **uzuv boyutları eşit** uzunlukta
- Mobil platform ve sabit platform uzuv boyutları da birbiri ile eşit uzunlukta



57

4. Saklı Robot Kavramı

- Seçilen mekanizma aşırı-kısıtlı bir mekanizma olduğu için analitik ters kinematik çözümü mevcut değil
 - iki sabit eksen arası uzaklık ve mobil platformun iki eksenin arası uzaklık sıfır olarak kabul edildi
 - paralelkenar devreleri çıkarıldığında C noktasının konumu değişmiyor



58

5. Kalibrasyon Gereksinimi



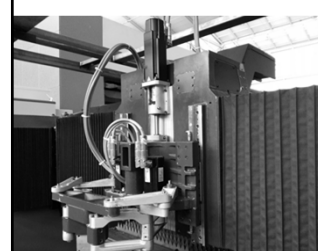
Mekanizma parçaları üretildi

Uzuv boyalarının ölçümleri alındı

Mekanizma montajı tamamlandı ve yeniden CMM ölçümleri yapıldı

59

5. Kalibrasyon Gereksinimi



Uzuvların montaj öncesi ve sonrası ölçülerini farklı

Ortalama bir değere göre kinematik hesaplamada yapılan hatalar da farklı



Uzuv boyutlarındaki hatalar 0.1 mm'den küçük → Uç noktası hataları 1.5 mm civarında ???

60

5. Kalibrasyon Çalışmaları

- İlk ölçümler FARO ION (hassasiyet $\pm 20 \mu\text{m}$) lazer interfarometre ile ölçümler yapıldı
 - Sıfır noktasını ayarla
 - İstenen noktayı gir
 - Ters kinematiği çalıştır
 - Motorları sür
 - Ölçümü al
- Elde edilen ölçümlere göre uzuv boyutları iterasyona sokuldu
 - Bütün çalışma alanında test edildi
 - Elde edilen en iyi değer maksimum 0.7 mm konum hatası



61

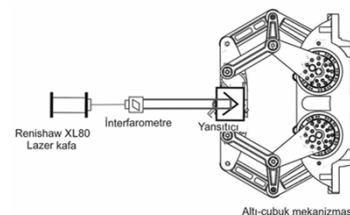
5. Kalibrasyon Çalışmaları

- Sadece uzuv boyutlarının değiştirilmesi yeterli değil
- Çalışma alanında uzuvların esneme değerleri farklı
 - Çalışma alanında 5 mm aralıklarla ölçümler alınıp hata matrisi tablosu oluşturuldu
 - Hata ters kinematikten bulunan açı değerine Jacobian matrisinin tersi kullanılarak eklendi ($\Delta\bar{\theta} = \hat{J}^{-1}\Delta\bar{x}$)
 - Ölüm noktaları arasındaki istekler için ise doğrusal yakınsama yapıldı

62

5. Kalibrasyon Çalışmaları

- Ölçümler bu sefer daha yüksek hassasiyette ölçüm yapabilen RENISHAW XL 80 cihazı ile bütün sistem için tekrarlandı



63

5. Kalibrasyon Çalışmaları



64

6. Sonuçlar

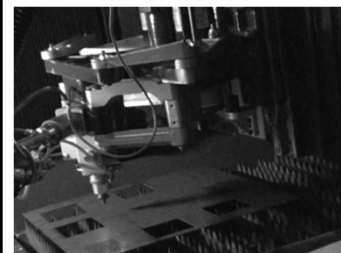
- **Türk Sanayisinde ilk defa** «Kinematik olarak artıksız düzlemsel bir lazer kesim tezgahı» üretildi
- Bilindiği kadarıyla **dünyada ilk kez** fazla-kısıtlı 6R mekanizması bir sanayi ürününde kullanıldı
- Fazla-kısıtlı mekanizmanın kontrolü ve kalibrasyonu için saklı robot yöntemini kullanan bir yöntem geliştirildi
- Yapılan kalibrasyon çalışması sonucunda toplam sistemin değerleri:
 - Maksimum ivme: 3.5 g
 - Hassasiyet: $\pm 37 \mu\text{m}/\text{m}$
 - Tekrarlanabilirlik: $\pm 26 \mu\text{m}$



65

6. Çalışma Videoları

Geleneksel Makine Çalışması
(Sadece makro manipülatör çalışıyor)



Makro-Mikro Manipülasyon
Çalışması



66

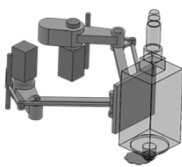
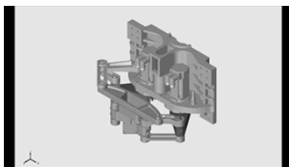
6. Çalışma Videoları

Keskin köşeli karmaşık kesimler

</

Teşekkürler

Çalışma 01668.STZ.2012-2 numaralı SanTez projesi kapsamında Coşkunöz Metal Form Endüstri ve Ticaret A.Ş. Firması ile beraber gerçekleştirilmiştir.



69

Teşekkürler

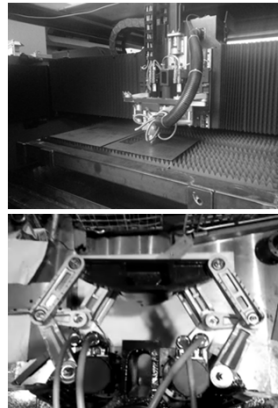
Proje Takımı

- Doç. Dr. Gökhan Kiper (İYTE)
- Dr. Emre Uzunoğlu (İYTE)
- Ercan Mastar (Coşkunöz)



70

Dinlediğiniz için Teşekkürler



71

Kaynaklar

- Asada, H., Youcef-Toumi, K. (1984), "Analysis and Design of a Direct-Drive Arm with a Five-Bar-Link Parallel Drive Mechanism", *J. Dyn. Syst. Meas. Contr.*, Vol.106, pp 255-230.
 Alıcı, G., Shirinzadeh, B. (2003), "Constrained Structural Optimisation of a Revolute-Jointed Planar Parallel Manipulator", Proceedings of IEEE/ASME Int. Conf. on Mechatronics, Kobe, pp 1244-1249.
 Alıcı, G., Shirinzadeh, B. (2004), "Optimum Synthesis of Planar Parallel Manipulators Based on Kinematic Isotropy and Force Balancing", *Robotica*, Vol.22, pp 97-108.
 Battheu, C. (2011), Manipulator of Low Inertia for Laser Cutting Machines for Flat Sheet Metals, Patent no: US20110017714.
 Battheu, C. (2012), Combined Machine for Punching and Laser Cutting of Flat Sheet Metal, Patent no: US20120097652.
 Bicchi, A., Caccavale, I.A. (2002), "Are Parallel Robots More Precise Than Serial Robots?", *Trans. CSMC*, Vol.31, No.4, pp 445-456.
 Corvelos-Sánchez, J., Rendón-Sánchez, J. G. (1999), "A Simplified Approach for Obtaining the Workspace of a Class of 2-dof Planar Parallel Manipulators", *Mech. Mach. Theory*, Vol.34, pp 1057-1073.
 Feng, G., Xian-Qiu, Z., Yong-Sheng, Z., Hong-Rui, W. (1996), "A Physical Model of the Solution Space and the Atlas of the Reachable Workspace for 2-dof Parallel Planar Manipulators", *Int. J. Mech. Sci.*, Vol.31, No.2, pp 173-183.
 Gattiglio, M., Montolí, F., Chirico, M. (2011), Laser Punching Machine, Patent no: US20090197118.
 Gattiglio, M., Chirico, M. (2011), Laser Punching Machine, Patent no: US8076610.
 Giberti, H., Cinquemani, S., Ambrossetti, S. (2011), "A Geometrical Index to evaluate the Kinematical Properties of a 2 dof Parallel Kinematic Manipulator", Proceedings of 4th Multi Conf. Engineering and Technological Innovation, Orlando, Florida, pp 1-6.
 Gonçalves, R. S., dos Santos, R. R., Carvalho, J. C. N. (2008), "On the Performance of Strategies for the Path Planning of a 5R Symmetrical Parallel Manipulator", Proceedings of the Brazilian Congress on Dynamics and Control Applications, Rio de Janeiro, Brazil.
 Hanafi, T., Zain, O., Reuter, W. (2007), "7 DOF Dynamic Accuracy Monitor for Robot and Machine Tool Manipulators", ASPE's 17th Annual Meeting.
 Hayward, V., Choksi, J., Lanvin, G., Ramstein, C. (1994), "Design and Multi-Objective Optimization of a Linkage for a Haptic Interface", In: Lenarcic, A., Ravan, B. (Eds.), Advances in Robot Kinematics and Computational Geometry, Kluwer Academic Publishers, pp 359-368.
 He, G., Lu, Z. (2006), "Optimum Motion Planning of Parallel Redundant Mechanisms with Shaking Force Reduction", Proceedings of IMACS Multi-conference on Computer Mathematics and Applications, Belgrade, Serbia.
 Isakson, M. (2011), "A Family of Planar Parallel Manipulators", Proceedings of 2011 IRRR Int. Conf. on Robotics and Automation, pp 2737-2744.
 Kardid, J. P., McVicker, G., Pawletko, J. P., Zai, L. C., Goldowsky, M., Brown, R. E., Comulada, R. R. (1992), "The Hummingbird Minimpositioner - Providing Three-Axis Motion at 50 g's With Low Reactions", Proceedings of IEEE Int. Conf. Robotics and Automation, Nice, pp 685-692.
 Leibinger, P., Rausler, T., Zegermann, L. (2004), Laser Cutting Machine with Multiple Drives, Patent no: US20040178181.
 Li, J., Liu, Y., Sun, L. (2007), "A Novel 2-DOF Planar Parallel Robot with High Accelerate-High Precision", Proceedings of 2007 IEEE Int. Conf. on Robotics and Biomimetics, Sanya, pp 2189-2193.

72



BETAL FORM

Kaynaklar

- Li, J., Liu, Y., Sun, L. (2007). "A Novel 2-DOF Planar Parallel Robot with High Accelerate-High Precision", Proceedings of 2007 IEEE Int. Conf. on Robotics and Biomimetics, Sanya, pp 2189-2193.
- Liu, X.-J., Wang, J., Zheng, H.-J. (2006), "Optimum Design of the 5R Symmetrical Parallel Manipulator with a Surrounded and Good-Condition Workspace", Rob. Autom. Syst., Vol.54, pp 221-233.
- Masakata, M. (2006), Punching and Laser Composite Machine, Patent no: JP2006088214.
- Morikatsu, M. (2007), Laser-Punch Composite Processing Machine, Patent no: JP2007038286.
- Munakata, T. (1988), Industrial Robot, Patent no: US4730975.
- Ouyang, P. R., Li, Q., Zhang, W. J. (2003), "Integrated Design of Robotic Mechanisms for Force Balancing and Trajectory Tracking", Mechatronics, Vol.13, pp 887-905.
- Parenti-Castelli, V., Venanzi, S. (2005), "Clearance Influence Analysis on Mechanisms", Mech. Mach. Theory, Vol. 40, pp. 1316–1329.
- Sartorio, F. (2004), Machine Tool and Manipulator Device Adapter to be Mounted on Such Machine, Patent no: US20040025761.
- Schulz, W., Niesen, M., Eppelt, U., Kowalick, K. (2009), "Simulation of Laser Cutting", In: Dowden (Ed.), The Theory of Laser Materials Processing: Heat and Mass Transfer in Modern Technology, Vol.2, pp. 21-69.
- Shiller, Z., Sundar, S. (1993). "Design of Multi-Degree-of-Freedom Mechanisms for Optimal Dynamic Performance", J. Mech. Des., Vol.115, 199-206.
- Shuichi, T., Shige, M. (1990), Parallel Link Robot Arm, Patent no: US4946337.
- Söylemez, E., (2009), Mechanisms, METU Press, 3rd Ed., Ankara.
- Sun, S., Cheung, J. W. F., Lou, Y. (2007), "A Study on Five-Bar Manipulators for Semiconductor Packaging Applications", Proceedings of IEEE Int. Conf. Mechatronics and Automation, Harbin, pp 1811-1816.
- Tasuka, H. (2009), Combined Processing Machine for Laser Beam-Punch Machining, Patent no: JP2009018334.
- Tsai, M.-J., Lai, T.-H. (2004), "Kinematic Sensitivity Analysis of Linkage with Joint Clearance Based on Transmission Quality", Mech. Mach. Theory, Vol. 39, pp 1189–1206.
- Tsai, M.-J., Lai, T.-H. (2008), "Accuracy Analysis of a Multi-loop Linkage with Joint Clearances", Mech. Mach. Theory, Vol. 43, pp 1141–1157.
- Ting, K.L., Zhu, J., Watkins D. (2000), "The Effects of Joint Clearance on Position and Orientation Deviation of Linkages and Manipulators", Mech. Mach. Theory, Vol. 35, pp 391-401.